

Modeling, Simulation of performance and Fabrication of a Prototype Electromagnetic Launcher

**M. Fakhrebadi¹, A. Zadeh¹,
M. Torabi¹, K. Poorbadakhshan*¹**

Abstract

Nowadays, research on modeling, simulation, construction, performance improvements of electromagnetic launchers are amongst the main areas of research in many universities and research centers in the world. In this paper, we report how to make, model, simulate and fabricate a prototype rail-gun with 2.2 kJ pulse power supply. In the chosen model, we simulate current of rails, acceleration, velocity, position, exerted forces on projectile and efficiency of launcher by MATLAB codes. After fabrication and final testing of launcher, current of capacitive bank and muzzle velocity of projectile are measured by Rogowski coil and infrared sensors, respectively. At the end, these values are compared with similar values in simulation.

Keywords: *Rail-gun, Electromagnetic launcher, Capacitive Bank, Projectile, Rogowski coil.*

¹ Quchan University of Technology, Quchan, Iran.

* Corresponding Author; E-mail: k.poorbadakhshan@qiet.ac.ir

مجله فیزیک کاربردی دانشگاه الزهرا (س)
سال هفتم، پیاپی ۱۳، پاییز و زمستان ۱۳۹۶

مدل‌سازی و شبیه‌سازی عملکرد و ساخت نمونه آزمایشگاهی پرتاگر الکترومغناطیسی^۱

مهدي فخرآبادي^۲، اشرف زاده^۲،
محمود ترابي^{۲*}، کاظم پوربدخشن^۲

تاریخ ارسال: ۱۳۹۵/۰۵/۱۰

تاریخ بازنگری: ۱۳۹۷/۰۳/۲۳

تاریخ تصویب: ۱۳۹۷/۰۷/۱۱

چکیده

امروزه مطالعه و تحقیق بر روی مدل‌سازی، شبیه‌سازی، ساخت و بهبود عملکرد پرتاگرهای الکترومغناطیسی، یکی از زمینه‌های اصلی تحقیقات بسیاری از دانشگاه‌ها و مرکزهای پژوهشی دنیاست. کاربردهای فراوان پرتاگرها در حوزه نظامی و هوافضای جنگ‌های هوایی است. در این مقاله، مشخصات نمونه ساخته شده، مدل‌سازی، شبیه‌سازی و نتایج آزمایش نمونه آزمایشگاهی پرتاگر ریلی با قدرت ۲/۲ کیلوژول گزارش شده است. در مدل انتخاب شده، مقادیر جریان ریل، شتاب، سرعت، موقعیت، نیروی واردہ بر پرتاگر، راندمان پرتاگر با استفاده از نرم‌افزار MATLAB شبیه‌سازی و نمایش داده می‌شود. پس از ساخت و

^۱ شناسه دیجیتال (DOI): 10.22051/jap.2018.11079.1047

^۲ دانشگاه صنعتی قوچان، قوچان، ایران

* نویسنده مسئول: k.poorbadakhshan@qjet.ac.ir

آزمایش نهایی پرتاپگر، سرعت خروج پرتاپه از دهانه پرتاپگر، شدت جریان تخلیه بانک خازنی به ترتیب با استفاده از حسگر مادون قرمز و سیم پیچ روگوفسکی اندازه‌گیری می‌شود. سرعت خروج پرتاپه از دهانه پرتاپگر ریلی به بیش از 100 m/s می‌رسد. در انتهای این اندازه‌ها با مقادیر مشابه شبیه‌سازی مقایسه می‌شود. آثار تخریبی پلاسمای ایجاد شده در ریل‌ها قابل توجه است.

واژه‌های کلیدی: پرتاپگر ریلی، پرتاپگر الکترومغناطیسی، بانک خازنی، پرتاپه، سیم پیچ روگوفسکی.

۱. مروری بر تاریخچه مسئله

بسیاری از کشورها برای پرتاپگرهای الکترومغناطیسی دورنمای وسیعی در نظر گرفته‌اند. دانشگاه‌ها و مراکز تحقیقاتی فراوانی در حال توسعه کار در این زمینه هستند [۱]. ساخت پرتاپگر ریلی به عنوان یک اسلحه نیاز به شناخت طیف بسیار گسترده‌ای از علوم، تحقیقات و فناوری‌ها است. از جمله می‌توان به این رشته‌ها اشاره نمود علوم ریاضی و کنترل: مدل‌سازی و بررسی حالت گذرا، رشته‌های مواد و مکانیک: خواص الکترومغناطیسی، رفتارهای اتمی، ویژگی‌های مکانیکی و گرمایی مواد، رشتة قدرت: ذخیره‌سازی انرژی و شکل دهنده پالس‌های قدرتی [۲]. اهداف ساخت مولد پالس‌های قدرتی بسیار زیادند. برای نمونه چندین کاربرد عمده در حوزه نظامی و فضایی و جنگ‌های هوایی را می‌توان نام برد [۴-۲]. در حقیقت اساس پرتاپگرهای ریلی و این گونه سیستم‌ها ایجاد ارتباط بین انرژی الکتریکی و جنبشی در یک آرمیچر شتاب‌دهنده است [۵، ۶].

از طرف دیگر، شبیه‌سازی و مدل‌سازی سیستم‌های مولد پالس‌های قدرتی و پرتاپگرهای ریلی نیز پایه بسیاری از تحقیقات هستند. برای مثال، استفاده از روش اجزاء محدود (FEM) برای مدل‌سازی این مولد به کار رفته است [۷]. تحلیل پارامترهای الکتریکی سیستم مولد پالس‌های کلیدی هستند که باید در نظر گرفته شوند [۸]. توصیف سیستم توسط نمودار I-V (ولتاژ-جریان) نیز روش مهمی است [۹]. تحلیل پدیده انتشار امواج الکترومغناطیسی در طی مرحله پرتاپ و مدل گذرای سیستم، از دیگر مراحل شبیه‌سازی این سیستم است [۷]. علاوه بر مدل‌های خطی، مدل‌های غیرخطی نیز برای سیستم پرتاپگر الکترومغناطیسی ارائه شده است [۱۲، ۱۳]. همچنین مدل‌سازی سیستم با توابع توزیع احتمالی نوع دیگر مدل‌سازی در این پدیده‌ها است [۱۴].

زیرشاخه دیگری که تعداد بسیار زیادی از دانشگاه‌ها و مراکز تحقیقاتی در آن شاخه فعال هستند، ساخت پرتتابگرهای الکترومغناطیسی است. در نتیجه محققان این مراکز بر روی مفاهیم و نمونه‌های آزمایشگاهی و آزمایش سیستم متمرک شده‌اند. استفاده از مواد خاص و اتصالات تونلی ابررسانا برای ساخت پرتتابگری با حساسیت زیاد، انرژی مصرفی کم و اندازه کوچک در دستور کار آن‌ها قرار دارد [۱۵]. مواد سازنده پرتتابگر ریلی باید طوری عمل کند که عملکرد نامطلوبی نداشته [۱۶] و راندمان مولد پالس قدرتی نیز افزایش یابد [۱۷].

پرتتابگرهای ریلی در بازه بسیار وسیعی از میزان انرژی، ولتاژ، سرعت، پارامترهای ژئومتری و مکانیکی عمل می‌کند [۱۰]. آزمایش پرتتابگری با کالیبر بالا و جریان سیم‌پیچی زیاد و پرتتابگری با مقیاس واقعی در آزمایشگاه مؤلفین [۱۸] انجام شده است. مقاله [۱۹] ساخت مولد پالس قدرتی با خازن‌های بزرگی را برای تولید پرتتابگر الکترومغناطیسی را شرح می‌دهد. کاهش دمای ریل‌ها هدف تحقیق [۲۰] بوده است. شبکه‌های شکل دهی پالس در [۲۱] شبیه‌سازی و شرح داده شده است. در گزارش [۲۲] اندازه پارامترهای آرمیچر برای افزایش سرعت سیستم طراحی مجدد شده است. ساخت، راهاندازی و آزمایش سیستم مولد پالسی با قدرت معادل ۲ مگاژول در [۲۳] بیان شده است. ساختار مکانیکی پرتتابگرهای ریلی الکترومغناطیسی در [۲۴] به صورت مسحوظ ذکر شده است. در این مقاله، نتیجه آزمایش موفق نمونه آزمایشگاهی ساخته شده، مدل‌سازی و شبیه‌سازی یک پرتتابگر ریلی که در آزمایشگاه توان پالسی دانشگاه صنعتی قوچان راهاندازی و آزمایش شده است ارائه می‌شود. در ابتدا مولد پالس قدرتی ۲/۲ کیلوژول طراحی و با استفاده از نرم‌افزارهای مورد نظر شبیه‌سازی شد. ساخت پرتتابگر ریلی نیز با اجزاء موجود در بازار انجام گرفت. در نهایت سیستم به طور موفقیت‌آمیز آزمایش شد و توانست پرتتابه مورد نظر را با سرعت مناسب از دهانه خود رها نماید. مقایسه اندازه‌گیری‌های انجام شده با مقادیر شبیه‌سازی نزدیکی آن‌ها را به یکدیگر بیان می‌کند.

۲. مدل‌سازی و شبیه‌سازی

در سیستم‌های مولد پالس قدرتی، براساس نیروی لورنتس جریان سیم‌پیچ باعث شتاب گرفتن پرتتابه می‌شود [۲۵]. در حقیقت، سیستم را می‌توان با یک مدار الکتریکی ساده مدل کرد که این مدار انرژی ذخیره شده در بانک خازنی را روی ریل‌ها تخلیه می‌کند. بنابراین مدار یک پرتتابگر، رفتاری شبیه سیستم RLC با حالت خودالقایی میرای بحرانی دارد. هدف از شبیه‌سازی این سیستم، به دست آوردن جریان سیم‌پیچ، موقعیت، سرعت و شتاب پرتتابه و نیزی اعمال شده بر آن است.

۵۴ / مدل‌سازی و شبیه‌سازی عملکرد و ساخت نمونه آزمایشگاهی پرتاگر الکترومغناطیسی

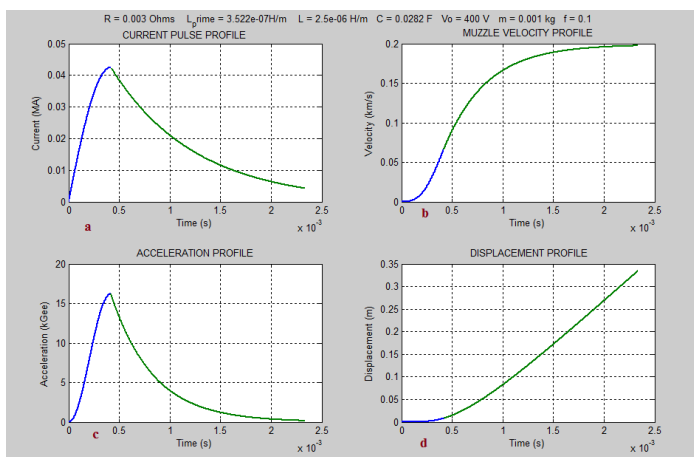
پرتاگر الکترومغناطیسی شامل چندین زیرسیستم است. از جمله: بانک خازنی، مجموعه گاز فشرده، ریل‌ها، پرتا به و ماژول کنترل سرعت. ریل‌ها قسمت اصلی پرتاگر ریلی هستند که انرژی الکتریکی را بر مبنای نیروی لورنتس به انرژی جنبشی تبدیل می‌کنند. این نیرو می‌تواند متناسب با فاصله بین ریل‌ها تغییر یابد. فرمول‌های زیر مبنای مدل‌سازی و شبیه‌سازی می‌باشند [۲۶].

$$B = \frac{\mu_0 I}{2\pi r} \quad (1)$$

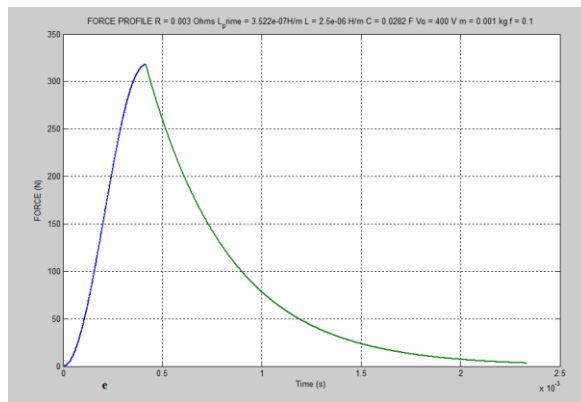
$$L' = \frac{\mu_0}{2\pi} \ln \frac{(R + l)^2}{R^2} \quad (2)$$

$$F = \frac{1}{2} L' I^2 \quad (3)$$

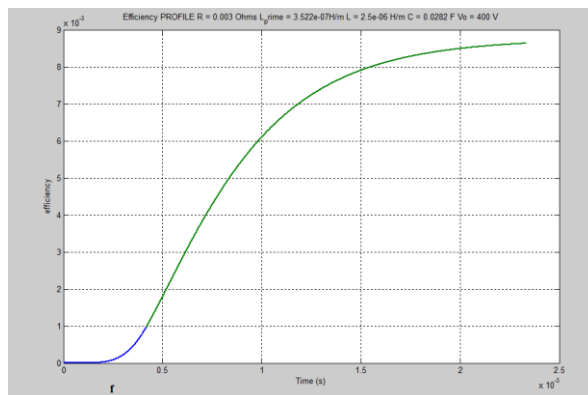
که در آن‌ها، B میدان مغناطیسی اطراف سیم‌پیچ بی‌نهایت است و برای تقریب میدان مغناطیسی ریل‌های مستطیلی از آن استفاده می‌شود. L' و F به ترتیب شیب مشتق القایی و نیروی اعمالی بر پرتا به را نشان می‌دهند. قابل توجه است که L' نقش مهمی در تحلیل داشته و ارتباط بین معادلات الکتریکی و الکترومغناطیسی را برقرار می‌کند. همان‌طور که اشاره شد، روش‌های فراوانی برای مدل‌سازی استفاده می‌شود [۷]. در این مقاله از روش تحلیلی برای محاسبه L' استفاده می‌کنیم [۱۴، ۲۶]. همچنین از نرم‌افزار MATLAB برای انجام محاسبات و رسم نمودارها بهره می‌بریم. نتایج شبیه‌سازی‌ها در شکل‌های (۱) تا (۳) نشان داده شده است. با توجه به نتایج شبیه‌سازی، می‌توان مشاهده نمود که جریان، نیرو و شتاب در زمان $0/4$ میلی ثانیه اتفاق می‌افتد.



شکل ۱ جریان سیم‌پیچ (بالا-چپ)، سرعت پرتا به (بالا-راست)، شتاب پرتا به (پایین-چپ) و میزان جایه‌جایی پرتا به (پایین-راست) بر حسب زمان



شکل ۲ نیروی وارد بر پرتابه بر حسب زمان



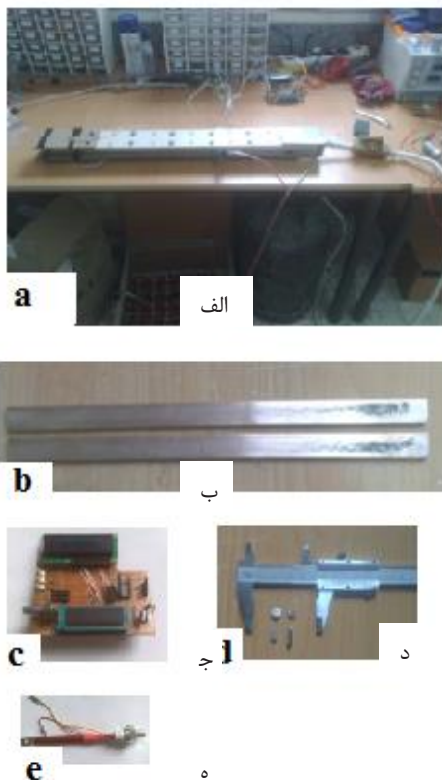
شکل ۳ راندمان تبدیل انرژی در سیستم بر حسب زمان

۳. مشخصات نمونه آزمایشگاهی

همان طور که اشاره شد، پرتابگر الکترومغناطیسی شامل این زیرسیستم هاست: بانک خازنی، کپسول گاز فشرده، ریل مسی، سخت افزار راهانداز و کنترل و پرتابه. بانک خازنی منبع ذخیره انرژی است که می تواند پس از دریافت فرمان از سیستم راهانداز در ریل های مسی تخلیه شود. کپسول گاز و شیر برقی تشکیل یک زیرسیستم مجزا می دهد که سرعت اولیه پرتابه را ایجاد می کند. این سرعت اولیه از ذوب شدن احتمالی ریل ها بر اثر قوس الکتریکی بین آن ها جلوگیری نماید [۲۶]. شمش های مسی دارای ۳۳cm طول، ۲cm عرض و ۵mm ضخامت هستند و بر روی یک صفحه MDF با مساحت ۶۰cm^۲ سوار شده اند. رابطه های مسی نیز درون این MDF قرار گرفته اند. به این دلیل از مس استفاده شده که هدایت الکتریکی زیادی دارد و نقطه ذوب آن نسبت به اغلب رساناها بالاتر است. بانک خازنی شامل شش خازن ۴۶۰uF با حداکثر ولتاژ ۴۰۰V است

۵۶ / مدلسازی و شبیه‌سازی عملکرد و ساخت نمونه آزمایشگاهی پرتاپگر الکترومغناطیسی

که با استفاده از یک نوار مسی به صورت موازی با هم قرار گرفته‌اند. کل انرژی ذخیره شده در بانک خازنی $2/2 \text{ kJ}$ خواهد شد. دو حسگر مادون قرمز برای تعیین موقعیت پرتاپه و محاسبه سرعت خروج آن از دهانه ریل بر MDF قرار داده شده است. سرعت محاسبه شده توسط میکروکنترلر بر روی LCD نمایش داده می‌شود. شکل (۴) نمونه آزمایشگاهی پرتاپگر ریلی و اجزاء آن را در آزمایشگاه نشان می‌دهد.



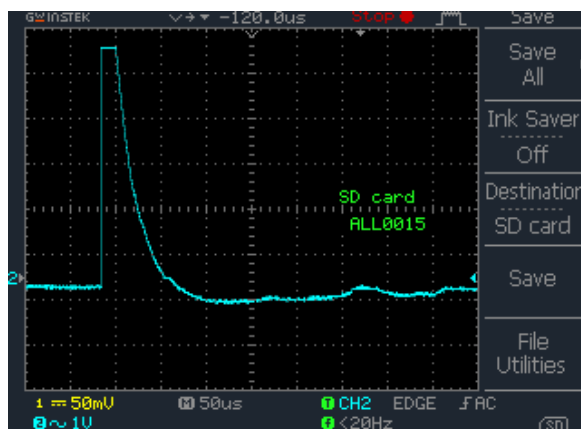
شکل ۴ اجزاء پرتاپگر؛ (الف) نمونه آزمایشگاهی پرتاپگر ریلی (ب) ریل ها
(ج) سخت افزار راه انداز (د) حسگرها و پرتاپه (ه) تریستور

شیر برقی که بین کپسول گاز فشرده و ورودی ریل قرار دارد با منبع ۱۲ ولتی تغذیه می‌شود. بلافارسله پس از عملکرد شیر، فشار گاز، سرعت اولیه‌ای برای پرتاپه ایجاد کرده و آن را به داخل ریل‌های پرتاپگر می‌راند. حرکت پرتاپه با استفاده از حسگر نوری قرار گرفته بر روی ابتدای ریل تشخیص داده می‌شود. از یک سوئیچ نیمه‌هادی سریع (SKT160 semikron) به طور سری با بانک خازنی و ریل‌ها استفاده کردیم. پس از حرکت پرتاپه بانک خازنی از طریق این سوئیچ

اجازه تخلیه در ریل‌ها می‌یابد. پرتابه از آلミニوم ساخته شده، وزن آن 5 gr و سرعت خروج آن از دهانه ریل به 100 m/s می‌رسد.

۴. آزمایش و اندازه‌گیری

آخرین مرحله در این پروژه، انجام آزمایش و آزمایش نهایی است. برای اندازه‌گیری جریان از سیم پیچ روگوفسکی استفاده شده است. ولتاژ این سیم پیچ که توسط نمایشگر MHZ ۲۵GWINSTEK اندازه‌گیری می‌شود، معرف جریان اصلی است. شکل (۵) خروجی این سیم پیچ را نشان می‌دهد. مقدار حداکثر این نمودار حداکثر ولتاژ را نشان می‌دهد. متوسط میزان جریان حدود $2/5\text{ KA}$ است که با استفاده از نسبت دور سیم پیچ محاسبه شده است. این مقدار نزدیک مقدار شیوه‌سازی است. پس از تخلیه بانک خازنی، مدار RLC دوباره آماده شارژ شده و ثابت زمانی مورد نظر را می‌سازد.



شکل ۵. خروجی سیم پیچ روگوفسکی

۵. بحث و نتیجه‌گیری

با توجه به رفتارهای مدار RLC، مقدار حداکثر ولتاژ تخلیه بستگی به اندازه پارامترهای طراحی و میزان میرایی مدار دارد. زمانی که تخلیه صورت می‌گیرد، بین پرتابه و ریل و در هر دو طرف پرتابه، پلاسمای داغ و غیر متعادلی در فضای ایجاد می‌شود (فاصله کمتر از $mm 2/5$). بررسی سطح پرتابه و ریل‌ها در شکل (۴) نشان می‌دهد که بعد از هر شلیک، اثر تخریبی نامطلوبی در ریل ایجاد شده است. نقاط تخریب شده کوچکی بر سطح ریل به چشم می‌خورد که به علت گرمای شدید و ذوب حاصل از جریان دشارژ است. یون‌های پرانرژی پلاسمای هوا باعث این اثر تخریبی می‌شوند.

این اثر باعث افزایش اصطکاک بین پرتابه و ریل می‌شود. در نتیجه مقدار اولیه انرژی الکتریکی تبدیل شده به انرژی گرمایی افزایش یافته و راندمان سیستم کم می‌شود. علاوه بر این، سطح ریل‌ها ناهموار شده و باعث تشدید این حالت می‌شوند. این اتفاق احتمالاً به دلیل تخلیه قله جریان در این قسمت است که نتایج شبیه‌سازی نیز این احتمال را تأیید می‌کند. شکل (۱) نشان می‌دهد که حداکثر جریان در ابتدای تخلیه صورت می‌گیرد. بنابراین با استفاده از روشی مؤثر می‌توان خط شکل دهی پالسی برای تولید پالس مربعی استفاده نمود. این نوع پالس، اثرات گرمایی و تلفات را با کم کردن مقدار قله جریان کاهش می‌دهد.

مراجع

1. P. Lehmann, "Overview of the electric launch activities at the French-German Research Institute of Saint-Louis (ISL)," *IEEE Transactions on Magnetics*, vol. 39, no. 1, pp. 24-28, 2003.
2. H. D. Fair, "Advances in Electromagnetic Launch Science and Technology and Its Applications," *IEEE Transactions on Magnetics*, vol. 45, no. 1, pp. 225-230, 2009.
3. I. R. McNab, "Progress on Hypervelocity Railgun Research for Launch to Space," *IEEE Transactions on Magnetics*, vol. 45, no. 1, pp. 381-388, 2009.
4. M. R. Palme, "Midterm to far term applications of Electromagnetic guns and associated power technology," *IEEE Transactions on Magnetics*, vol. 29, no. 1, pp. 345-350, 1993.
5. S. M. Esmaelia, "Calculation of inductance Gradient in Railgun (in persian)," *Tabriz university journal*, vol. 29, 2003.
6. A. P. Noel; A. Challita; D. P. Bauer, "A novel railgun launch package concept," *IEEE Transactions on Magnetics*, vol. 37, no. 1, pp. 97-100, 2001.
7. S. A. Taher; M. Jafari; M. Pakdel, "A New Approach for Modeling Electromagnetic Railguns," *IEEE Transactions on Plasma Science*, vol. 43, no. 5, pp. 1733-1741, 2015.
8. L. Chen; J. He; S. Xia; Z. Xiao; D. Feng, "Some Key Parameters for Rectangular Caliber Railgun System," *IEEE Transactions on Plasma Science*, vol. 41, no. 5, pp. 2493-1497, 2013.
9. X. Guo; L. Dai; Q. Zhang; F. Lin; Q. Huang; T. Zhao, "Influences of Electric Parameters of Pulsed Power Supply on Electromagnetic Railgun System," *IEEE Transactions on Plasma Science*, vol. 43, no. 9, pp. 3260-3267, 2015.
10. J. Dong; J. Zhang; J. Li; Y. Gui; Y. Cui; S. Li; N. Su, "The 100-kJ Modular Pulsed Power Units for Railgun," *IEEE Transactions on Plasma Science*, vol. 39, no. 1, pp. 275-278, 2011.
11. G. Becherini; S. D. Fraia; G. Genovesi; A. Petri; S. Hundertmark; M. Schneider; B. Tellini, "Characterization of EM Emission During the Operation of Solid and Plasma Armature Rail Launchers," *IEEE Transaction on plasma science*, vol. 39, no. 1, pp. 22-28, 2011.

12. T. Siaenen; M. Schneider; J. Hogan, "Block Diagram Model for the Simulation of an Electromagnetic Rail Accelerator System," *IEEE Transactions on Plasma Science*, vol. 43, no. 5, pp. 1580-1584, 2015.
13. H. D. Fair, "Progress in Electromagnetic Launch Science and Technology," *IEEE Transactions on Magnetics*, vol. 43, no. 1, pp. 93-98, 2007.
14. J. F. Kerrisk, "Current Distribution and Inductance Calculations for RAIL-GUN Conductors," NOV, Los Alamos, 1987.
15. P. Lehmann; Minh Duc Vo; W. Wenning, "Comparative study of railgun housings made of modern fiber wound materials, ceramic, or insulated steel plates," *IEEE Transactions on Magnetics*, vol. 41, no. 1, pp. 200-205, 2005.
16. D. A. Wetz; T. J. Watt; D. Surls; M. T. Crawford, "Investigation into the Behavior of Armature Ejecta in Electromagnetic Launchers," *IEEE Transactions on Plasma Science*, vol. 39, no. 3, pp. 947-952, 2011.
17. C. Gong; X. Yu; X. Liu, "Study on the System Efficiency of the Capacitive Pulsed-Power Supply," *IEEE Transactions on Plasma Science*, vol. 43, no. 5, pp. 1441-1447, 2015.
18. M. Crawford; R. Subramanian; T. Watt; D. Surls; D. Motes; J. Mallick; D. Barnette; S. Satapathy; J. Campos, "Design and Testing of a Large Caliber Railgun," *IEEE Transactions on Magnetics*, vol. 45, no. 1, pp. 256-260, 2009.
19. Y. Liu; F. Lin; L. Dai; Q. Zhang; L. Lee; Y. Han; W. Li; W. Lu, "Development of a Compact 450 kJ Pulsed Power Supply System for Electromagnetic Launcher," *IEEE Transactions on Plasma Science*, vol. 39, no. 1, pp. 304-309, 2011.
20. J. Gallant; P. Lehmann, "Experiments with brush projectiles in a parallel augmented railgun," *IEEE Transactions on Magnetics*, vol. 41, no. 1, pp. 188-193, 2005.
21. E. Spahn; G. Buderer; C. G. Blum, "Novel PFN with current turn-off capability for electric launchers," *IEEE Transactions on Magnetics*, vol. 37, no. 1, pp. 398-402, 2001.
22. L. Chen; J. He; Z. Xiao; Y. Pan, "Study on the Length of Trailing Arm of Monolithic C-Armature in a 20-mm Caliber Railgun," *IEEE Transactions on Plasma Science*, vol. 39, no. 1, pp. 417-421, 2011.
23. B. Lee; S. An; S. H. Kim; Y. H. Lee; K. S. Yang; Y. S. Jin; Y. B. Kim; J. Kim; C. Cho; S.H. Yoon; I. S. Koo, "Operation of a 2.4-MJ Pulsed Power System for Railgun," *IEEE Transactions on Plasma Science*, 2014.
24. J. T. Tzeng, "Structural mechanics for electromagnetic railguns," *IEEE Transactions on Magnetics*, vol. 41, no. 1, pp. 246-250, 2005.
25. L. A. Miller, E. E. Rice, R. W. Earhart, R. J. Conlon, "Preliminary analysis of space mission Applications for electromagnetic launchers," Final Tech. Rep. to NASA on Contract NAS3-23 354, Battelle Columbus Lab., 1984.
26. J. Nie, "An Analytic Expression of Inductance Gradient for Rail-Type Electromagnetic Launcher," *IEEE Transaction of Plasma Science*, 2012.

Modeling, Simulation of performance and Fabrication of a Prototype Electromagnetic Launcher

**M. Fakhrabadi¹, A. Zadeh¹,
M. Torabi¹, K. Poorbadakhshan*¹**

Abstract

Nowadays, research on modeling, simulation, construction, performance improvements of electromagnetic launchers are amongst the main areas of research in many universities and research centers in the world. In this paper, we report how to make, model, simulate and fabricate a prototype rail-gun with 2.2 kJ pulse power supply. In the chosen model, we simulate current of rails, acceleration, velocity, position, exerted forces on projectile and efficiency of launcher by MATLAB codes. After fabrication and final testing of launcher, current of capacitive bank and muzzle velocity of projectile are measured by Rogowski coil and infrared sensors, respectively. At the end, these values are compared with similar values in simulation.

Keywords: *Rail-gun, Electromagnetic launcher, Capacitive Bank, Projectile, Rogowski coil.*

¹ Quchan University of Technology, Quchan, Iran.

* Corresponding Author; E-mail: k.poorbadakhshan@qiet.ac.ir